膨張材コンクリートを適用した実大模擬スラブ試験体による収縮ひび割れ実験

飯田 康介 藤下 大知塚本 康營 木村 貴裕塩田 博之**

概 要

本研究では物流倉庫や生産施設の膨張材コンクリートを適用した床スラブにおいて、乾燥収縮に伴い生じるひび割れの幅や本数の予測方法を構築することを目的とし、実大サイズの模擬スラブ試験体を作製し、2年間、ひび割れ状態を観察、測定した。コンクリートの物性も同時に測定した。膨張材コンクリートのJISの試験方法による拘束膨張率と、乾燥期間26週の長さ変化率試験の結果を足し合わせた合成長さ変化率は 524×10^{-6} 、スラブと同じ厚さの無拘束状態のコンクリートの収縮ひずみについては材齢2年時点で、膨張材無混和は収縮側に 660×10^{-6} 、膨張材を23kg/㎡使用した試験体は膨張側に 189×10^{-6} であった。模擬スラブ試験体のひび割れ本数は膨張材無混和が35本、膨張材を使用した場合4本程度となり、ひび割れ本数は無混和に対して約88%低減した。

Shrinkage cracking experiments using full-scale mock slab specimens with expansive concrete

Abstract

This study aimed to develop a method for predicting the width and number of cracks caused by drying shrinkage in floor slabs made with expansive additive (EA) concrete in logistics warehouses and production facilities. Full-scale mock slab specimens were constructed, and cracking was observed and measured over two years. The combined length change rate, obtained by adding the restrained expansion strain from the JIS test method and the results of a 26-week drying shrinkage test, was 524×10^{-6} . For unrestrained concrete of the same thickness as the slab, the shrinkage strain at two years of age was 660×10^{-6} on the shrinkage side for the specimen without EA, and 189×10^{-6} on the expansion side for the specimen with 23 kg/m^3 of EA. The number of cracks in the mock slab specimens was 35 for the specimen without EA and approximately 4 for the specimen with EA, representing an about 88% reduction compared to the specimen without EA.

キーワード:収縮ひび割れ、膨張材、実大実験、 ひび割れ本数、実機試験 ※ 建築本部建築統括部

§ 1. はじめに

鉄筋コンクリート造建築物の耐久性や美観、あるいは室の性能を長期に渡って維持するためには、乾燥収縮ひび割れを低減、制御する必要がある。特に、物流倉庫や生産施設などの床スラブ(以下、スラブと表記)は上面が躯体現しになることが多く、ひび割れが露出し品質上の問題が生じやすいため、スラブを対象とした乾燥収縮ひび割れの予測、制御技術に関する研究が多く行われてきた1)。また、乾燥収縮ひび割れ性状を使用材料や施工条件を基に正確に予測できれば、ひび割れ対策に必要な材料を適切に配置することができ、過剰な対策や補修に掛かる資源やエネルギーの削減が期待できる。すなわち、品質の向上に加えて脱炭素化、地球温暖化防止の観点からも有効と考えられる。

乾燥収縮ひび割れの原因である乾燥収縮ひずみを低減するために、日本国内において膨張材が一般的に使用されている。膨張材を使用したスラブのコンクリートにおいて、ひび割れ量が低減することを確認した実

表1 使用材料の一覧

種類 材料		記号	特性・産地等
ψ: Λ.H.	セメント	С	普通ポルトランドセメント 密度 3.16 g/cm
結合材	膨張材	Ex	エトリンガイト・石灰複合系、 密度 3.07 g/cm ²
水 地下水 W			神奈川厚木市
細骨材	砕砂	S1	東京都八王子市美山町産 粗粒率 3.00、表乾密度 2.62 g/cm 混合比率 70%
和省外	砂	S2	千葉県富津市鶴岡産 粗粒率 1.80、表乾密度 2.59 g/cm 混合比率 30%
粗骨材 砕石		G	東京都八王子市美山町産 実積率 59.5%、表乾密度 2.65 g/cm
混和剤	AE減水剤	Ad1	リグニンスルホン酸化合物 ・ポリカルボン酸エーテル複合体
	AE減水剤 遅延形	Ad2	リグニンスルホン酸化合物 ・ポリカルボン酸エーテル複合体

験結果は多くあるものの^{例えば2)}、その効果を加味し、 ひび割れ量を定量的に求めることができる計算方法は まだない。本研究では、膨張材を用いたスラブにおけ るひび割れ本数、幅を算定する方法を構築することを 目的として、実大サイズのスラブ試験体を作製し、ひ び割れ性状を確認する。

§ 2. 予備実験

2.1 実機製造時の拘束膨張率

小林らは実機プラントで製造したコンクリートの拘束膨張率は試験室の結果に対して低下する³⁾と報告している。そのため、はじめに拘束膨張率の確認と原因推定のための予備実験を行った。使用材料を表1、調合や記号を表2に示す。実スラブで使用される調合を参考とし、調合管理強度は30N/mi、水結合材比は50%とし、膨張材はセメント内割りで20kg/m置換した。拘束膨張率の測定方法はJISA6202付属書BのB法に準拠した。ただし、拘束棒は1度使用したものを清掃し、反りなど変形がないことを確認のうえ再利用した。コンクリート採取のタイミングは①実機ミキサー直下でホイールローダーのバケットで荷受けしたもの

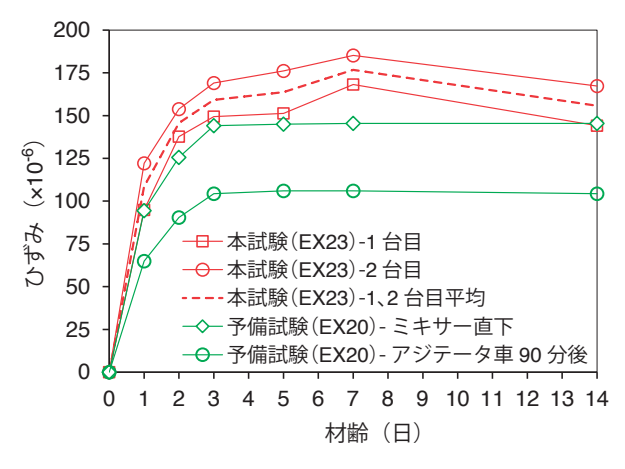


図1 拘束膨張率試験結果

表 2 調合一覧

					È	単位量	(kg/m	')		混和	11剤		ii	大験結果		
	コンクリートの	W/B	s/a									フリ	ノッシコ	性状		標準養生
記号	呼び方			I	3	W	S1	S2	G	Ad1	Ad2	試験	Sl*1	Air*2	CT **3	28日 圧縮強度
		(%)	(%)	С	Ex					(B>	<%)	実施時	(cm)	(%)	(℃)	(N/mm^2)
N (本試験)	30-15-20N		47	352	_	176	574	246	938	_	1.15	荷卸し	15.0	3.9	28	40.4
EX20 (予備試験)	30-15-20N (歴紀日 + + 20 L / 3)	50	46.9	332	20	176	572	245	938	1.05	_	練り上がり 直後	19.5	4.9	21	-
(丁///)	(膨張材20 kg/㎡)											経時90分	14.5	4.6	22	44.1
EX23 (本試験)	30-15-20N (膨張材23kg/㎡)		47	329	23	176	574	246	938	_	1.15	荷卸し	15.0	4.5	29	41.7

※1:スランプ ※2:空気量 ※3:コンクリート温度

②アジテータ車にて90分経時後とした。各タイミングでは5 mmのふるいでウェットスクリーニングを行い、粗骨材量を測定し、モルタル量から膨張材量を推定した。

フレッシュ試験結果を表2に、拘束膨張率の測定 結果を図1に緑線で示す。材齢7日における拘束膨 張率は①ミキサー直下が 145×10^{-6} 、②アジテータ車 経時後が 106×10^{-6} であり、どちらも収縮補償用とし ての基準である 150×10^{-6} を下回った。また、粗骨材 量は①989 kg/m³、②977 kg/m³であり、配合計画より 40から50kg/㎡程度多かった。この粗骨材量と実測し た空気量を使用し推定した膨張材の単位量は① 19.6 kg/m³、②19.7kg/m³程度であり、配合計画より 僅かに小さい結果であった。拘束膨張率の低下要因 についてはさらなる検証が必要だが、本結果を踏ま えると、モルタル量の減少の影響は小さく、実機ミ キサーと試験室用ミキサーの性能や機構の違いの影 響、それに加え、アジテータ車ドラム内において膨 張材粒子に何らかの経時変化が起きている可能性が 示唆された。これらを踏まえ、本研究では拘束膨張 率150×10⁻⁶以上のコンクリートでのひび割れ性状を 確認することを優先し、膨張材量は23kg/m²とした。

§3. 実大スラブ実験

3.1 実大試験体の概要

実大試験体のコンクリート打設前の状態を写真1に、概要を図2に示す。試験体は長辺(X)方向が10.38m、短辺(Y)方向が約3mとし、梁を模擬したH形鋼を口の字型に設置し、高力ボルトにより摩擦接合した。X方向の中央にも梁を設置した。スラブは厚さ150mmとし、埋設式の捨て型枠デッキプレート(デッキPL)を使用した。デッキPLには丸棒のラチス

材にあらかじめ鉄筋が溶接固定されており、各構成材料はJIS Gの規定を満たすものである。1枚の幅が400mmであり、試験体短辺方向に掛け、長辺方向に並べて設置し梁に溶接固定した。各梁の上には頭付きスタッドボルトを設置し、スラブと一体化した。試験体は幅200mmの架台鉄骨の上に設置し、試験体端部の4か所については厚さ2mmのテフロンシートを2枚挿入し摩擦を低減した。架台鉄骨は平滑な土間上に設置した。設置場所は神奈川県厚木市の、外気温湿度と概ね連動し、風雨、直射日光に曝されない屋内である。試験体の各所には箔ひずみゲージや埋込ひずみ計、熱電対を設置し、ひずみと温度等を測定した。

試験体数は2体とし、調合はそれぞれ表2に示すN およびEX23である。コンクリートの打込み時期は6 月下旬とし、ポンプ車により圧送して行い、 ϕ 30 mm の内部振動機を2台使用し入念に締固めを行った。上 面仕上げは実スラブと同等の方法とし、タンピング、 均し、ハンドトロウェル掛けを行い、最終仕上げはフ レスノと呼ばれる大型の金鏝(写真2)で仕上げた。



写真2 実スラブでのフレスノ掛けの状況



写真1 実大試験体のコンクリート打込み前状況

表3 実大試験体の各部材の諸元、拘束度などの一覧

部位·	・部材	寸法、面積、物性等	記号	数值	単位	諸元、算定式
試験体: スラブ部		長さ: X方向	Lx	1038	cm	
		長さ: Y方向	Ly	300	cm	
		長さ:Z方向(スラブ厚さ)	Lz	15	cm	
		断面積: X軸直交面(YZ面)	Ax	4500	cm²	
		断面積: Y軸直交面(XZ面)	Ay	15570	cm²	
		断面積:X軸直交面(YZ面)	Acx	4481	СШ	
		断面積:Y軸直交面(XZ面)	Acy	15430	cm²	
		圧縮強度(28日)	Fc,28	36.6	N/mm²	実測値
コンク	リート	ヤング係数(28日)	Ec,28	31247	N/mm²	実測値
		クリープ係数	Φ	1	_	概算のための仮定値 AIJ指針 ¹⁾ を参考に設定した
		断面剛性: X軸直交面(YZ面)	Rcx	14.1	GN	Acx×Ec,28
		断面剛性: Y軸直交面(XZ面)	Rcy	48.7	GN	Acy×Ec,28
		鉄骨X(1本あたり)	Agx	305.8	cm²	H900-300-16-28、SS400
拘束		鉄骨Y1(1本あたり)	Agy1	305.8	cm²	同上
: 鈞	大官	鉄骨Y2(1本あたり)	Agy2	187.2	cm²	H588-300-12-20、SS400
		断面積(1本あたり)	Arx'	1.267	cm²	D13, SD295
	配力方向	本数	_	15	本	配筋ピッチ: 200 mm
	鉄筋	合計断面積	Arx	19.01	cm²	Arx'×15本
	デッキ	断面積(1本あたり)	Ary1'	1.27	cm²	D13、SD295
拘束体②	付帯鉄筋	本数	_	52	本	配筋ピッチ: 200 mm
:鉄筋	(上端筋)	合計断面積	Ary1	65.9	cm²	Ary1'×52本
	デッキ	断面積(1本あたり)	Ary2'	0.713	cm²	D10, SD295
	付帯鉄筋	本数	_	104	本	配筋ピッチ: 100 mm
	(下端筋)	合計断面積	Ary2	74.18	cm²	Ary2'×104本
114-	11. (2)	断面積: X軸直交面(YZ面)	Adx	12.3	cm²	246cm(デッキ敷設長さ) ×0.05cm
拘束体③ : デッキプレート		断面積: Y軸直交面(XZ面)	Ady	48.0	сm²	厚さ0.5mm、亜鉛メッキ鋼板、480 cm(デッキ敷設長さ ×0.05 cm×2
		断面積: X軸直交面(YZ面)	Asx	643	cm²	Agx×2本+Arx+Adx
拘ず		断面積: Y軸直交面(XZ面)	Asy	868	cm²	Agy1+2本×Agy2+Ary1+Ary2+Ady
1)+2		ヤング係数 (拘束体共通)	Es	205000	N/mm²	
合		断面剛性: X軸直交方向(YZ面)	Rsx	13.2	GN	Asx×Es
		断面剛性: Y軸直交方向(XZ面)	Rsy	17.8	GN	Asy×Es
試験体の特性値		方向、他	記号	数値	単位	算定式
I I La Arri I	1	X軸直交面(YZ面)	nx	14.3%	%	Asx/Acx
拘束鋼材面積比		Y軸直交面(XZ面)	ny	5.6%	%	Asy/Acy
1L-1-11	nont let. 11.	X方向(YZ面)	px	0.94	_	Rsx/Rcx
拘束体剛性比		Y方向(XZ面)	py	0.37	_	Rsy/Rcy
		X方向(28日)	λx	0.48	_	Rsx/(Rsx + Rcx)
11	time data data	同上 (クリープ考慮)	λx'	0.33	_	$Rsx/((1+\Phi) \times Rsx + Rcx)$
拘束度概算值		Y方向(28日)	λy	0.27		Rsy/(Rsy + Rcy)
19不及		1 月刊(28日)	/ / V	0.27		RSY/(RSV + RCV)

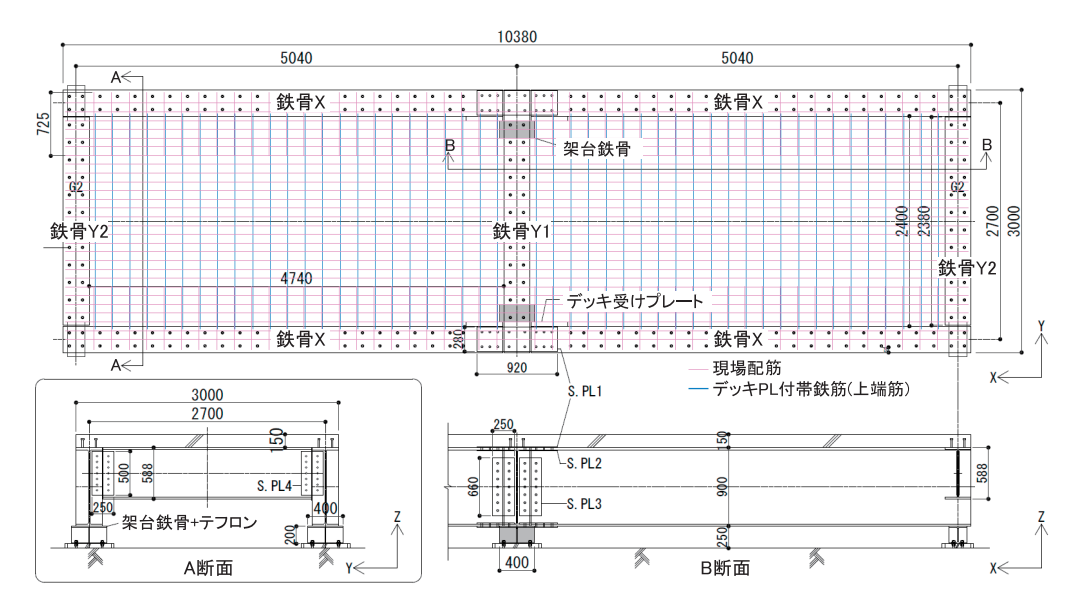


図2 実大試験体の概要

打込み後は5日間上面にビニールシートを掛け散水を 行い、湿潤状態を保った。乾燥開始後2年間、各種測 定、ひび割れ観察を行った。本報では、ひび割れ状態 の測定結果についてのみ報告する。

表3に実大試験体の各部材の諸元や、コンクリートとそれを拘束する拘束体との関係により決まるパラメータを示す。表より、X方向(=X軸直交断面)の拘束鋼材面積比は15.1%であり、拘束度は材齢28日のコンクリートのヤング係数で算定した場合、クリープなし:0.48、クリープ係数を1.0として考慮した場合:0.33程度であった。

3.2 小型試験体の概要

コンクリートの無拘束状態の膨張・収縮ひずみを測定するため、小型のスラブ試験体を作製、測定した。小型試験体の概要を図3に示す。試験体は500mm角、厚さ150mmとし、内部中心には熱電対付き埋込ひずみ計、表層には極低弾性のシリコンゴム製のひずみ計を設置した。底面にはテフロンシートとポリエステルフィルムを挟み摩擦を低減した。養生条件は実大試験体と同じとした。本報では、埋込ひずみ計の結果についてのみ報告する。

3.3 材料試験、 その他の試験の概要

材料試験は以下の項目、また試験方法で実施した。

- (1)凝結時間 : 試験用容器の内高以外はJIS A 1147に準拠した。容器は内高140mmの金属製の 円筒容器を使用した。N数: 2 体、EX23調合のみ。 試験環境は実大試験体と同じ環境で実施した。
- (2)圧縮強度 : JIS A 1108に準拠。
- (3)ヤング係数 : JIS A 1149に準拠。
- (4)割裂引張強度: JIS A 1113に準拠。
- (5)拘束膨張率 : JIS A 6202付属書B、B法に準拠。 EX23調合のみ。20℃恒温室で実施。
- (6)長さ変化率 : JIS A 1129ダイヤルゲージ方法に 準拠。
- (7)環境温湿度 : サーミスタおよび静電容量式湿度 計により測定。2台の平均値を求めた。

§4. 実験結果

4.1 環境温湿度

図4に試験体周囲の温湿度測定結果を示す。湿度は 前後5日間分の移動平均値も併せて示す。環境温度は 平均で23.1℃、相対湿度は63%であった。

4.2 凝結時間

図5に凝結試験結果を示す。凝結時間は2体の平均で始発が5:30、終結が6:35であった。コンクリート温度が高く、かつ実大試験体のそばで試験を行ったため周囲の温度が26 \mathbb{C} 程度であり、通常よりも早まったと考えられる。

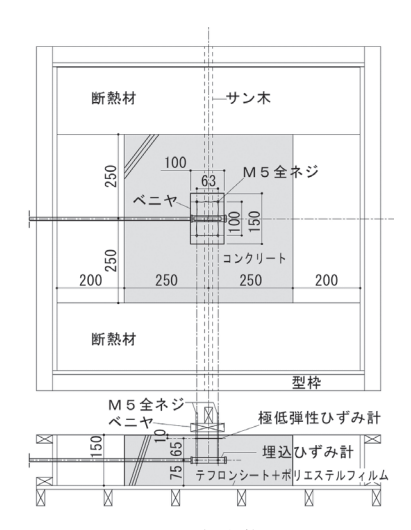


図3 小型試験体の概要

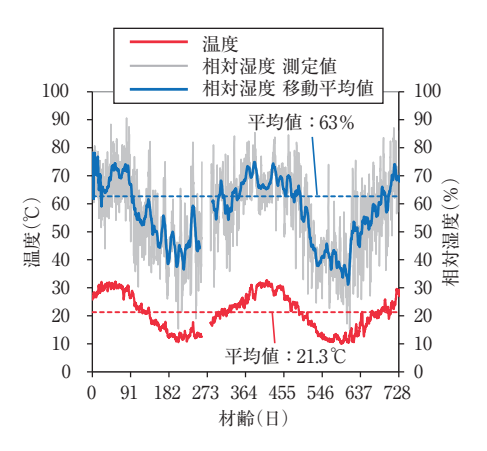


図 4 環境温湿度測定結果

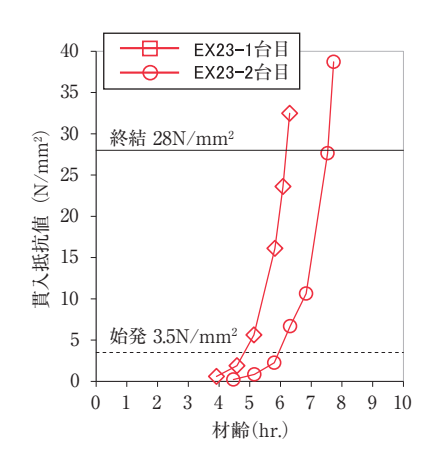


図5 凝結試験結果

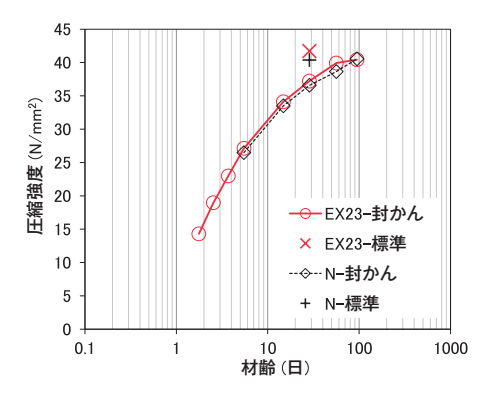


図6 圧縮試験結果

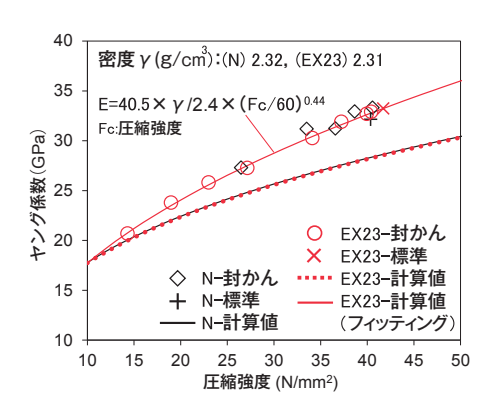


図7 ヤング係数と圧縮強度の関係

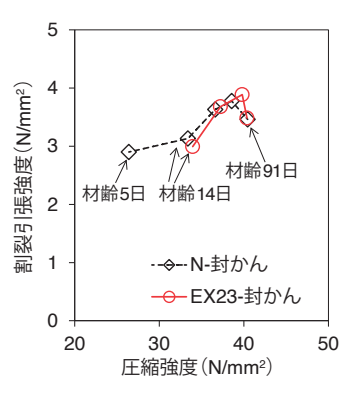


図8 割裂引張強度と 圧縮強度の関係

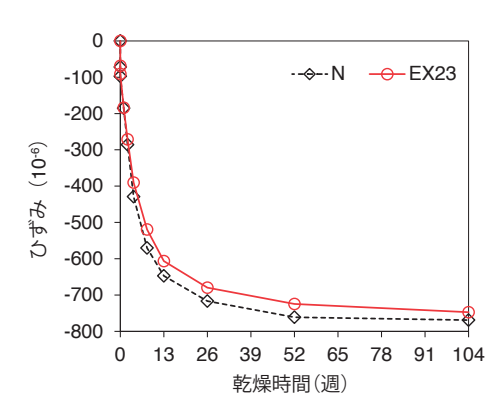


図9 長さ変化率測定結果

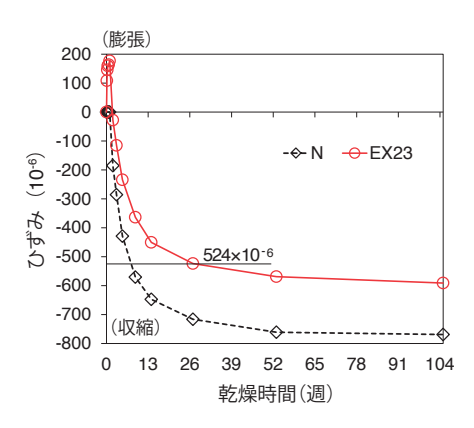


図 10 拘束膨張率を合成した長さ 変化率

4.3 圧縮強度およびヤング係数

図6に圧縮試験結果、図7にヤング係数と圧縮強度の関係を示す。図7には野口式⁴⁾の計算値、また、野口式の定数を調整し回帰分析により実験値にフィッティングさせた計算値も併せて示す。

4.4 割裂引張強度

図8に圧縮強度と割裂引張強度の関係を示す。ひび 割れ発生以前の割裂引張強度は、Nが材齢5日時点で 2.9N/mi、EX23が材齢14日時点で3.0N/miであった。

4.5 拘束膨張率

図 1 に本実験における拘束膨張率測定結果を赤線で示す。材齢 7 日時点の拘束膨張率は平均で 177×10^{-6} であり、 150×10^{-6} を上回った。

4.6 長さ変化率

図 9 に長さ変化試験の結果を示す。乾燥時間26週における長さ変化率はNが717× 10^{-6} 、EX23が680× 10^{-6} であった。次に、EX23について膨張による効果も含めた簡易評価のため、材齢 7 日までの拘束膨張率を長

さ変化率測定値に加えた、合成長さ変化率 $^{5)}$ を求めた。 結果を図10に示す。EX23の乾燥時間26週における合成長さ変化率は 524×10^{-6} であった。

4.7 小型試験体のひずみ、温度

図11および図12に小型試験体の埋込ひずみ計(試験体中心)の温度およびひずみの測定結果を示す。ひずみ計は自己温度補償型であるが、測定値に含まれる温度変化分を完全に除去するため式(1)により補正を行った。

 $\varepsilon_{sh} = C_{\varepsilon} \cdot \varepsilon_{meas} + dT \ (C_{\beta} - \gamma_s) \ (1)$

ここで、 ε_{sh} :膨張収縮ひずみ $(\times 10^{-6})$

C。: センサー固有の校正係数

 ε_{meas} :測定値(× 10^{-6})

dT :温度変化 (℃)。Nは温度変化が急激

に上昇を始める時点からの変化分、 EX23は始発からの変化分とした。

C_β :センサー固有の温度補正係数 (N:

10.4, EX23: 10.9 (\times 10⁻⁶/°C))

γ。 : 測定対象物の線膨張係数 (×10⁻⁶/℃)

線膨張係数y。は、材齢91日から2年までの式(1)で

求まるひずみ ε_{sh} と、 ε_{sh} の直線近似式による計算値の差が最も小さくなるときの値とし、最小二乗法により求めた。その結果 γ_s はNが12.6、EX23が12.0とコンクリートに近い値であり、温度差によるひずみはほとんど生じていなかった。これは周囲からの拘束がほぼないためと考えられる。EX23の最大膨張ひずみは721× 10^{-6} 、材齢 2 年時点におけるひずみ ε_{sh} はNが収縮側に660× 10^{-6} 、EX23は収縮側に転じておらず、膨張側に189× 10^{-6} であった。

4.8 実大試験体のひび割れ計測結果

図13に乾燥時間35日、77日および322日における実大試験体の幅0.03 mm以上のひび割れの発生状況を示す。Nに比べてEX23はひび割れ量が大きく減少していることが分かる。図14および図15にひび割れ本数の経時変化を示す。ひび割れ本数は図13に示す①から⑤の5つの線上に生じたひび割れの数である。なお、長辺方向端部から1m程度の範囲に生じている斜めひび割れは除外した。322日時点での平均ひび割れ本数はNが35本、EX23が4本程度であった。EX23のひび割れ本数はNに対して88%低減した。試験体の長さを平均ひび割れ本数で除して求めた平均ひび割れ間隔はNが298 mm、EX23が2471 mm程度であった。なお、322

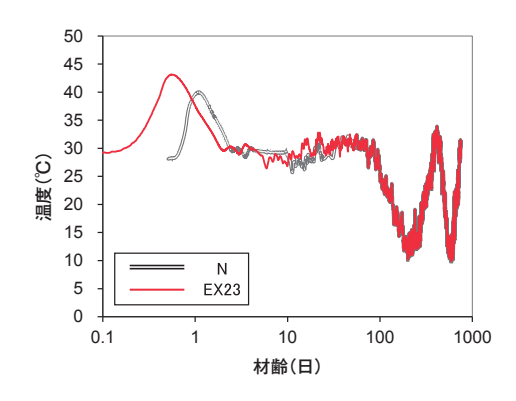


図11 小型試験体の温度測定結果

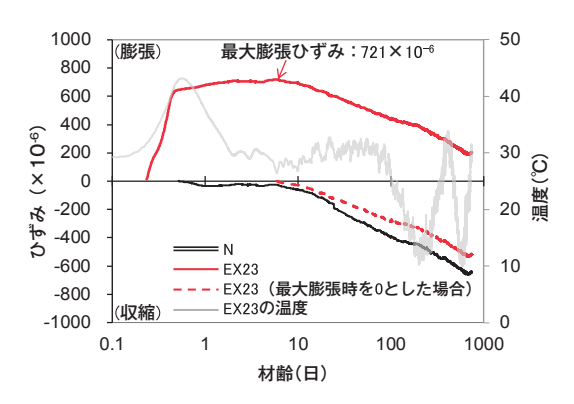


図12 小型試験体の埋込ひずみ計の測定結果

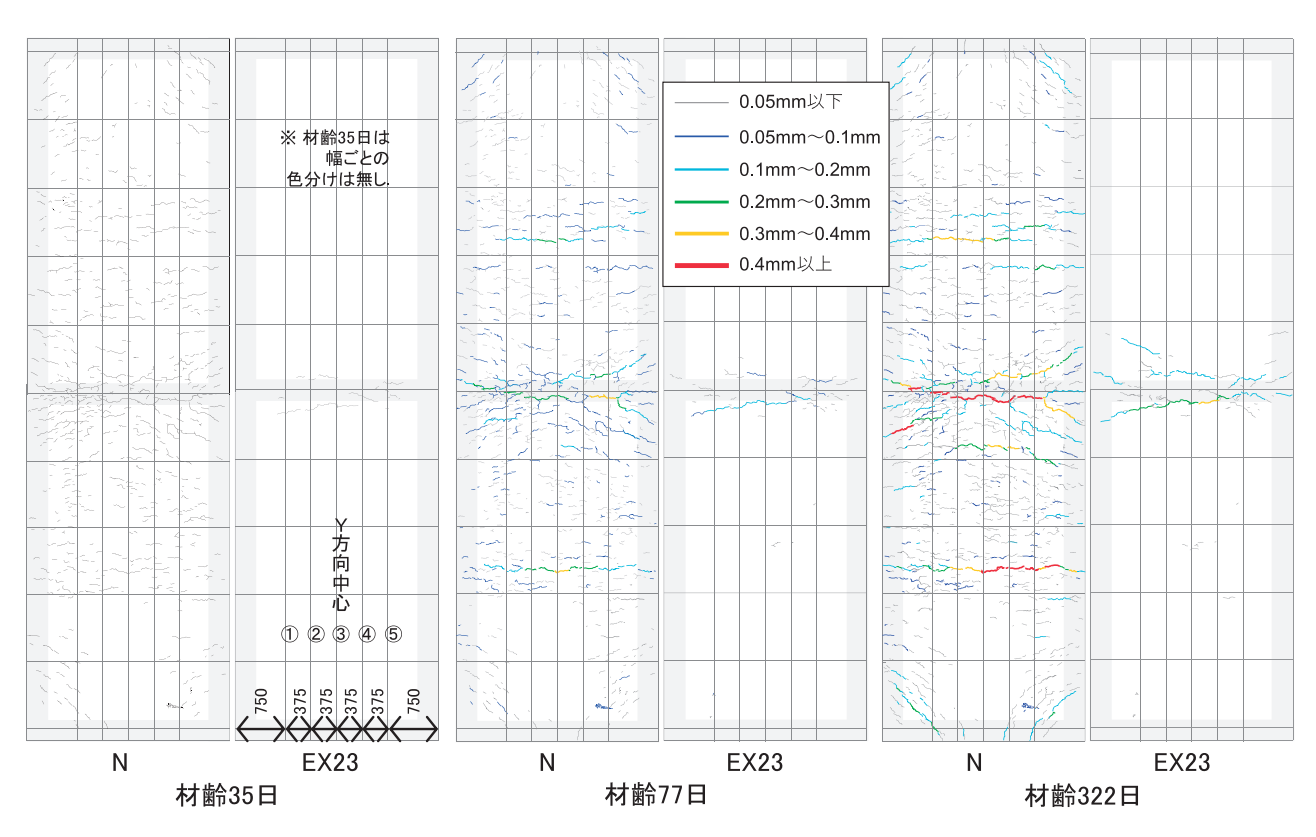


図13 実大試験体のひび割れ状況

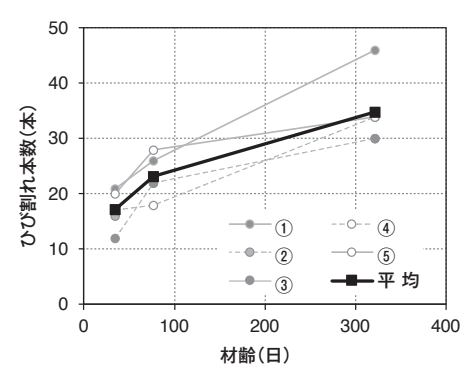


図 14 実大試験体のひび割れ本数の経時変化(N)

日から材齢2年までEX23のひび割れ本数は変化しており、今後、報告する予定である。

§5. 結論

膨張材コンクリートを用いたスラブのひび割れ状態を検証するため、膨張材を23kg/m内割り使用したコンクリートを適用した実大模擬試験体を作製し、収縮ひび割れ確認実験を行った。以下に、本実験で得られた知見を示す。

- (1) 実機製造時の拘束膨張率は、既往の研究同様、 試験室に比べて低下した。その原因として、ミ キサーの性能や機構の影響、アジテータ車ド ラム内で膨張材に経時変化が生じている可能 性が示唆された。
- (2) 膨張材コンクリートの拘束膨張率は176×10⁻⁶、 拘束膨張率を合成した長さ変化率は524×10⁻⁶ 程度であった。
- (3) 材齢 2 年における、スラブと同じ厚さとした 無拘束状態の小型試験体中心のひずみは、膨 張材未使用が収縮側に 660×10^{-6} 、使用した試 験体は膨張側に 189×10^{-6} であった。
- (4) 模擬スラブ試験体のひび割れ本数について、膨 張材未使用に対して膨張材を使用したものは 88%低減した。
- (5) 模擬スラブ試験体の平均ひび割れ間隔は、膨張 材未 使用298mm、 使用 した 試験 体は 2471mm程度であった。

謝辞

本実験の実施にあたり、山一興産株式会社相模工場様、株式会社デンカ様に様々ご協力をいただきました。 ここに記し、感謝の意を表します。

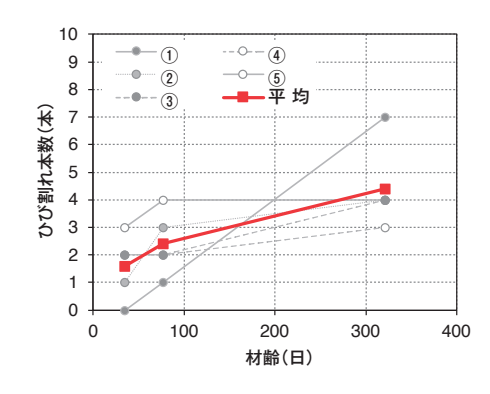


図 15 実大試験体のひび割れ本数の経時変化 (EX23)

参考文献

- 1) 日本建築学会:鉄筋コンクリート造建築物の収縮 ひび割れ制御設計・施工指針・同解説、2023.2
- 2) 飯田康介ほか:乾燥収縮ひずみを制御したコンクリートのひび割れ抑制効果の検証 その8 実大デッキスラブ試験体の2年間のひずみ・応力の経時変化応力計算方法および試験体Nの結果、その9 実大デッキスラブ試験体の2年間のひずみ・応力の経時変化 試験体H,L1,L2、日本建築学会大会学術講演梗概集、2018.7
- 3) 小林哲夫・小田部裕一・閑田徹志・金塚美喜男: ひび割れ低減コンクリートの製造に関する検討、 コンクリート工学年次論文集、Vol.26、No.1、2004
- 4) 野口貴文、友澤史紀:高強度コンクリートの圧縮 強度とヤング係数の関係、日本建築学会構造系論 文集、第474号、pp.1-10、1995.8
- 5) 藤下大知・飯田康介・塚本康誉・塩田博之:湿潤養生期間が膨張材を用いたコンクリートの膨張・収縮特性に及ぼす影響、コンクリート工学年次論文集、Vol. 46、No.1、2024

ひとこと



飯田 康介

実大のスラブ試験体で膨張コンクリートの収縮ひび割れを確認した事例は多くありません。今回の知見を基に、ひび割れをより正確に予測できる方法を確立し、品質と低炭素化の両立を目指してまいります。